

УРАЛЬСКОЕ ОТДЕЛЕНИЕ РОССИЙСКОЙ АКАДЕМИИ НАУК  
ФЕДЕРАЛЬНОЕ ГОСУДАРСТВЕННОЕ БЮДЖЕТНОЕ УЧРЕЖДЕНИЕ НАУКИ  
ИНСТИТУТ ВЫСОКОТЕМПЕРАТУРНОЙ ЭЛЕКТРОХИМИИ  
УРАЛЬСКОГО ОТДЕЛЕНИЯ РОССИЙСКОЙ АКАДЕМИИ НАУК  
РОССИЙСКИЙ ФОНД ФУНДАМЕНТАЛЬНЫХ ИССЛЕДОВАНИЙ  
УРАЛЬСКАЯ ГОРНО-МЕТАЛЛУРГИЧЕСКАЯ КОМПАНИЯ  
ОАО «УРАЛЭЛЕКТРОМЕДЬ»

## ФИЗИЧЕСКАЯ ХИМИЯ и ЭЛЕКТРОХИМИЯ РАСПЛАВЛЕННЫХ и ТВЕРДЫХ ЭЛЕКТРОЛИТОВ

XVI Российская конференция  
(с международным участием)

16–20 сентября 2013 г.

### Материалы докладов

Том I



Екатеринбург  
Издательство Уральского университета  
2013

УДК 541.3  
ЭЛЕКТРОХИМИЧЕСКОЕ ПОВЕДЕНИЕ ЦИНКОВОГО ЭЛЕКТРОДА  
в РАСТВОРЕ СУЛЬФАТА НАТРИЯ ПРИ ПОЛЯРИЗАЦИИ  
ПРОМЫШЛЕННЫМ ПЕРЕМЕННЫМ ТОКОМ  
© А. Б. Баевов, С. С. Битурсын, А. К. Баевова, 2013  
Институт органического катализа и электрохимии им. Д. В. Сокольского,  
Алматы, Казахстан, baevsov@mail.ru

На сегодняшний день актуальной задачей является разработка новых способов получения промышленно важных соединений цинка с использованием относительно дешевого промышленного переменного тока. В предлагаемой работе исследовано электрохимическое поведение цинка в паре с титановым электродом при поляризации промышленным переменным током частотой 50 Гц в растворе сульфата натрия. Изучено влияние различных параметров на процесс электролиза, в частности, плотности на титановом и цинковом электродах, концентрации электролита и продолжительности электролиза.

Все реактивы, использованные для проведения экспериментов, по степени чистоты соответствуют маркам «чистый» и «химически чистый». Использованные в работе растворы были приготовлены на дистиллированной воде.

Проведение электролиза с двумя цинковыми электродами показало, что растворение цинка не наблюдается в том случае, а когда в качестве второго электрода использовали титановый проволочный электрод, цинковый электрод растворялся в высокими выходами по току.

Выход по току растворения цинка рассчитывали на анодный полуperiод первого тока.

Одним из основных факторов, оказывающих существенное влияние на скорость электрохимических реакций, протекающих на электроде, является плотность тока. При исследовании влияния плотности переменного тока на титановом электроде ВТ растворения цинка в интервале 10–90  $\text{kA/m}^2$  в 0,5 м растворе сульфата натрия зависимость имеет вид кривой, проходящей через максимум. Результаты опытов показали, что при увеличении плотности тока на титановом электроде до 70  $\text{kA/m}^2$  величина выхода по току растворения цинка растет, достигая 55 %, далее снижается. Скорость растворения цинка при плотности тока 10  $\text{kA/m}^2$  – 80,25  $\text{g/m}^2\cdot\text{час}$ , а при 90  $\text{kA/m}^2$  достигает 237,75  $\text{g/m}^2\cdot\text{час}$ , то есть с увеличением плотности тока на титановом электроде скорость растворения цинка растет. В катодном полуperiоде ионы цинка обратно восстанавливаются с невысокой скоростью, так как цинк является металлом имеющим отрицательный потенциал ( $E_{Zn/Zn^{2+}} = -0,76$  В). Кроме того, реакция подавляется высокой степенью разряда ионов водорода на электроде. Как было уже отмечено, начиная с плотности тока выше 70  $\text{kA/m}^2$  ВТ уменьшается. Растворение цинка при поляризации переменным током объясняется следующим образом. Когда титановый электрод находится в анодном полуperiоде на его поверхности сразу

систем с фторидом лития. Такое отличие, по-видимому, связано с тем, что доли ионности в йодиде серебра существенно ниже, чем в галогенидах щелочных металлов. При температуре около 1160 К величины электропроводностей верхней и нижней фаз практически выравниваются, что говорит о достижении критической температуры, значение которой хорошо согласуется с величиной, определенной по фазовой диаграмме [3].

Замена катиона натрия на катион лития приводит к существенному изменению в соотношении радиусов ионов в сосуществующих фазах, что в свою очередь ведет к увеличению температурного интервала существования купола несменяемости от 868 К до 1263 К (по данным, опубликованным Синистри) [3]. По своему поведению система становится ближе к распластавшимся системам на основе фторида лития. С ростом температуры электропроводности верхней и нижней фазы растет. В довольно широком интервале температур они идут практически параллельно, но вблизи критической температуры, поведение системы несколько отличается от предыдущей, вместо снижения электропроводности верхней фазы, мы наблюдаем увеличение электропроводности нижней. В этом, по-видимому, оказывается особенность взаимодействия катионов серебра с ионами лития и хлора в верхней и нижней фазе. Критическая температура в этом случае равна 1250 К и близка к значению критической температуры, определенной в [3].

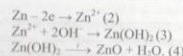
#### Список литературы

1. Janz G. J., Tomkins R. P. T., Allen C. B. et al. Molten salts // *J. Phys. Chem. Ref. Data*. 1975. V. 4, № 4. P. 871–1178; 1977. V. 6, № 2. P. 409–596; 1979. V. 8, № 1. P. 125–302.
2. Margeritis C., Flor G., Sinistri C. Miscibility gaps in fused salts. VII Systems of LiF with alkali halides // *Z. Naturforsch.* 1973. Bd. 28a, № 8. P. 1329–1334.
3. Flor G., Margeritis C., Vigano G. C., Sinistri C. Miscibility gaps in fused salts. Note XI. Systems formed with silver-halides and lithium or sodium-halides // *Z. Naturforsch.* 1982. V. 37a, № 9. P. 1068–1072.
4. Локетт В. Н., Рукавишникова И. В., Степанов В. П. Плотность фторидно-иодидных расплавов с ограниченной взаимной растворимостью компонентов // Журнал физической химии. 2008. Т. 82, № 2. С. 241–244.
5. Степанов В. П., Рукавишникова И. В., Локетт В. Н. Межфазное напряжение на границе распластавшихся расплавов фторида лития с галогенидами цезия // Журнал физической химии. 2009. Т. 83, № 8. С. 1285–1288.
6. Бабушкина Л. М., Докашенко С. И., Степанов В. П., Щербаков К. Н. Электропроводность расплавов фторида лития с бромидом калия в области распластавания // Расплавы. 2008. № 3. С. 35–39.
7. Ткачев Н. К., Кобеляев М. А. Модель распластавания 2 электролитов с различными зарядами ионов // Журнал физической химии. 1999. № 8. С. 1393–1397.

же образуется оксидная пленка ( $Ti_2O_3$ ), обладающая вентильными свойствами и протекание тока в электрохимической цепи прекращается. Когда титановый электрод находится в катодном полупериоде, в нейтральной среде на нем будет протекать восстановление молекулы воды:



В этот момент цинковый электрод находится в анодном полупериоде и окисляется с образованием ионов металла (далее – оксида металла).



Дегидратация гидроксида цинка в оксид по реакции (4) происходит при температурах раствора выше 60–70 °C.

Исследовано влияние плотности тока на цинковом электроде на выход по току растворения и скорость растворения. ВТ растворения и скорость растворения цинка в интервале плотности тока 200–800 A/m<sup>2</sup> падает. При плотности тока 200 A/m<sup>2</sup> ВТ растворения составляет 74 %, а скорость – 255,625 g/m<sup>2</sup>·ч. А при плотности тока 600 A/m<sup>2</sup> соответственно 5,3 % и 35,375 g/m<sup>2</sup>·ч. При плотности тока 800 A/m<sup>2</sup> цинковый электрод практически прекращает растворяться. По-видимому образование на поверхности электрода гидроксида цинка полностью экранирует поверхность и приводят к пассивации.

Как показывают результаты, с увеличением концентрации сульфата натрия выход по току растворения цинка и скорость растворения заметно увеличиваются. При концентрации  $Na_2SO_4$  равной 0,25M, выход по току растворения цинка составляет 62 %, а скорость растворения – 231,5 g/m<sup>2</sup>·ч, а при концентрации  $Na_2SO_4 = 2$ M, соответственно 90 % – 332,75 g/m<sup>2</sup>·ч.

Повышение выхода по току растворения цинка, по-видимому, обусловлено увеличением концентрации сульфат ионов, являющихся донором кислорода.

С увеличением продолжительности электролиза от 0,25 ч до 2,0 ч ВТ незначительно падает, и при 0,25 ч величина выхода по току составляет 94,89 %, а при 1,5 ч – 90 %.

При изучении влияния температуры на выход по току использовали электролизер, снабженный обратным хододильником и позволяющий использовать термостат для поддержания задаваемой температуры. С увеличением температуры раствора от 20 °C до 80 °C выход по току и скорость растворения падают, при 20 °C ВТ – 90 %, при 80 °C – 70 %, а скорость растворения соответственно 332,75 g/m<sup>2</sup>·ч и 258,875 g/m<sup>2</sup>·ч. Уменьшение выхода по току растворения цинка с увеличением температуры раствора, по-видимому, связано снижением перенапряжения выделения водорода.

Таким образом, впервые исследовано электрохимическое растворение цинка при поляризации переменным током в растворе сульфата натрия. Показано, что под действием переменного тока цинк растворяется с образованием гидроксида и оксида цинка. Максимальный выход по току растворения цинка с образованием гидроксида цинка составляет 94 %.

#### Список литературы

- Баевов А. Б. Электрохимические процессы при поляризации нестационарными токами // Известия НАН РК. Серия химии и технология. 2011. № 2. С. 3–23.
- Шульгин Л. П. Перенапряжение электродных реакций в растворах при прохождении симметричного переменного тока // Журнал физической химии. 1979. Т. 53, № 8. С. 2048–2052.
- Баевов А. Электрохимические процессы при поляризации промышленным переменным током : материалы Междунар. науч.-практ. конф. «Современное состояние и перспективы развития науки, образования в Центральном Казахстане». Караганда, 2008. С. 209–214.
- Баевов А. Применение новых электрохимических методов в решении проблем металлургии, химии и экологии : труды Междун. школы-семинара «Проблемы электрохимии XXI века». Алматы, 2007. С. 37–47.

Таблица 2  
Коэффициенты активности, избыточные термодинамические характеристики урана и лантантов в расплаве Ga-In

Стандартное составление R	$lgx_R = a + b/T + c/T^2 + d/T^3$		$\Delta H_x$ , кДж/моль	$-\Delta S_x$ , Дж/(моль·К)	$-\Delta G_x^{\text{ст}}$ , кДж/моль
	a	-b			
$\gamma\text{-U}$	4,11	6790	130,0	78,7	61,3
I-U	4,83	7550	144,5	92,5	63,8
$\beta\text{-La}$	5,786	12216	233,9	72,5	170,6
I-La	4,199	12703	243,2	80,4	173,0
o-Pr	2,351	9996	191,4	45,0	152,1
I-Pr	2,805	10523	201,5	53,7	154,6

В табл. 3 приведены коэффициенты обобщающих уравнений, которые описывают растворимость урана и лантантов в сплаве Ga-In эвтектического состава, полученных методами ЭДС, отставания, центрифугирования и фильтрации жидкокометаллических расплавов. Интересно отметить, что при 491 K растворимость лантана испытывает излом, природа которого на данный момент неясна.

Таблица 3

R	Растворимость урана и лантантов в расплаве Ga-In				$\Delta T$ , K	
	$lgX_R = a + b/T + c/T^2 + d/T^3$	$X_R$ , м.д. %	$\Delta T$ , K			
a	-b	$C \cdot 10^{-3}$	$10^{-8}$	300 K	873 K	1073 K
U	2,23	6750	1,90	1,83	$1,2 \cdot 10^{-4}$	0,05
La	-4,970	409	–	–	$4,6 \cdot 10^{-3}$	–
La	3,165	4406	–	–	–	1,31
Nd	1,433	3674	0,4645	–	$2,2 \cdot 10^{-4}$	0,68
Pr	3,515	4770	–	–	$4,1 \cdot 10^{-11}$	1,12
					11,7	573–1073

Близость полученных термодинамических функций урана и лантантов в жидкокометаллических расплавах Ga-In к их характеристикам в жидком галлии свидетельствует о преимущественном взаимодействии атомов потенциалопределяющего компонента (R) с атомами галлия в сплаве Ga-In. Об этом же свидетельствуют результаты рентгенографического анализа кристаллов интерметаллидов, выделенных из сплавов. Основной в них является фаза состава  $RGa_6$  (R = La, Pr, Nd) для сплавов лантантов, или  $UGa_6$  для сплавов урана.

Таким образом, можно констатировать, что индий в сплавах практически не участвует во взаимодействии с ураном и лантанами. Вероятно, он играет роль добавки, лишь понижающей температуру плавления жидкокометаллического растворителя.

#### Список литературы

- Официальный сайт Госкорпорации «Росатом»  
URL: [www.rosatom.ru/aboutcorporation/nauka/](http://www.rosatom.ru/aboutcorporation/nauka/)

#### СОДЕРЖАНИЕ

Абрамов А.В., Баженов А.В., Полотов И.Б., Ребрин О.Н., Валкович В.А., Мальцев Д.С. Коррозия сплавов и сталей в ураносодержащих хлоридных расплавах .....	3
Адамкова М.Н., Кухиков Х.Б., Хакунова Е.М., Гучева Д.З. Электрохимическое получение металлического вольфрама из хвостов гидрометаллургического производства .....	6
Азис А.Р., Ахмедов И.Р., Какагасанов М.Г., Гайдаров М.М., Аттаев М.Б., Рабаданов К.Ш. Комбинированное рассеяние света и диффузионная модель постактивационной релаксации ионных солевых систем .....	7
Архипов П.А., Холкина А.С., Хамзуллина Ю.Р., Першин П.С., Зайков Ю.П. Апробирование технологии электрорафиирования свинца .....	10
Асанов А.М., Кухиков Х.Б., Шогенова Д.Д. Электрохимический синтез высокодисперсных порошков интрия с кобальтом .....	13
Бабушкина Л.М., Докашенко С.И., Степанов В.П., Пеликан Д.С., Плетнев К.А. Электропроводность расплавляющихся солевых расплавов, содержащих галогениды щелочных металлов и серебра .....	16
Баев А.Б., Батурсин С.С., Баевшов А.К. Электрохимическое поведение цинкового электрода в растворе сульфата натрия при поляризации промышленным переменным током .....	19
Баевшов А.Б., Сарбаева М.Т., Баевшова А.К., Сарбаева Г.Т. Растворение алюминиевых электролов в хлоридном растворе при поляризации трехфазным током .....	22
Баевшов А.Б. Электрохимия в комплексной переработке минерального сырья Республики Казахстан .....	25
Бове А.Л., Шишкян В.Ю., Афончиков В.К., Хрустова Л.Г. Электрохимическое поведение ионов иттербия в расплавленной эвтектической смеси 0,6LiF-0,4NaF .....	28
Бузик В.Ю., Чуйко Г.Ю., Популин А.А., Кухиков Х.Б. Изучение сорбции и миграции ионов иттербия в расплавах фторидов щелочных металлов методом молекулярной динамики .....	31
Вакарин С.В., Семерикова О.Л., Сурат С.А., Миков А.В., Панкратов А.А., Плаксин С.В., Кончаков В.А., Корзун И.В., Акашев Л.А., Зайков Ю.П. Электрохимический синтез пленок оксидных вольфрамовых бронз .....	33